

LSH on Quantum

<https://youtu.be/IDhTATTGGaE>

LSH

- LSH 구조

- Initialization

- 입력 메시지 패딩, IV 값을 CV에 저장

- Compression

- MsgExp

- MsgAdd

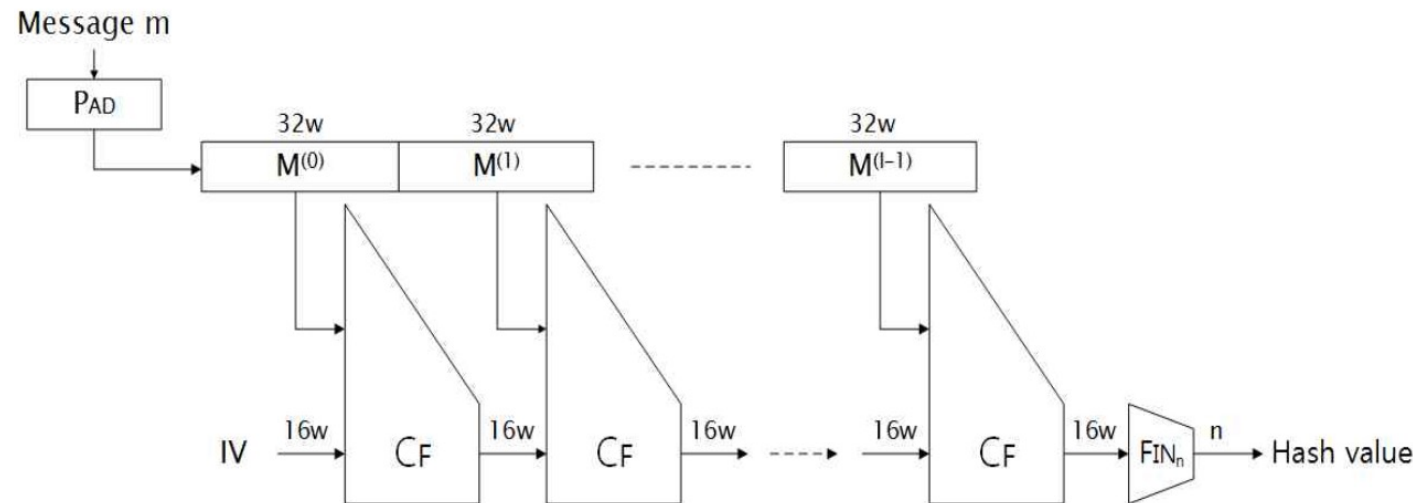
- Mix

- WordPerm

Step 함수

- Finalization

- n 비트 길이의 해시 값 h 를 생성



LSH

- Compression

- MsgExp : 메시지 확장 함수

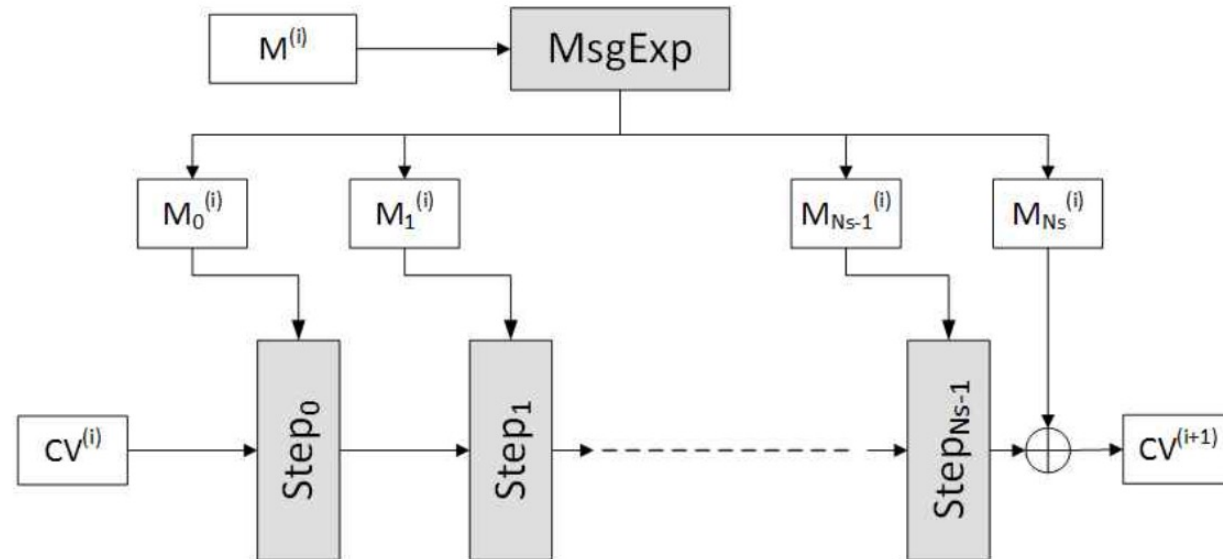
- 32 워드 배열 \rightarrow 16 워드 배열

- $M^{(i)} = (M^{(i)}[0], \dots, M^{(i)}[31])$

$$M_0^{(i)} \leftarrow (M^{(i)}[0], \dots, M^{(i)}[15]), M_1^{(i)} \leftarrow (M^{(i)}[16], \dots, M^{(i)}[31])$$

$$M_j^{(i)} \leftarrow (M_j^{(i)}[0], \dots, M_j^{(i)}[15])_{j=2}^{N_s}$$

$$M_j^{(i)}[l] \leftarrow M_{j-1}^{(i)}[l] \oplus M_{j-2}^{(i)}[\tau(l)] \text{ for } 0 \leq l \leq 16$$



LSH

- Step

- MsgADD

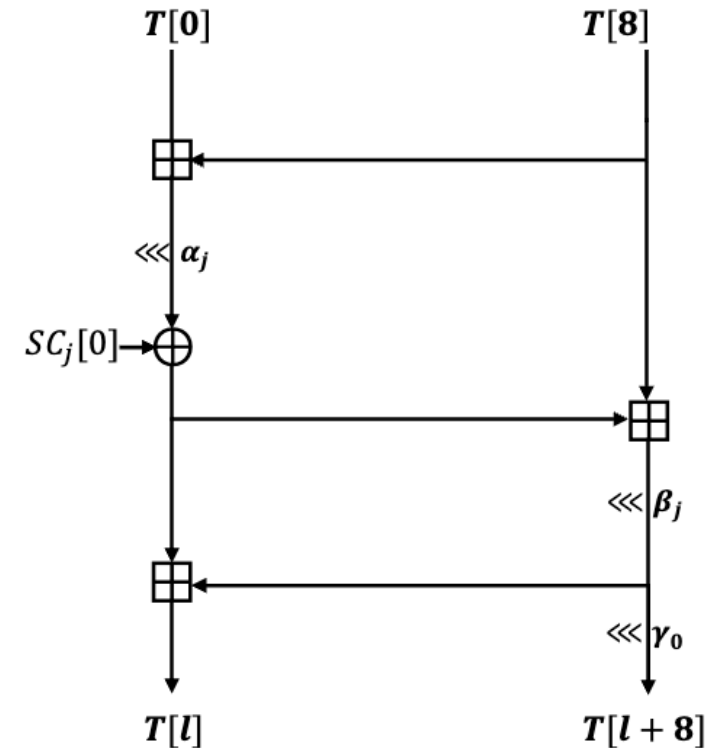
- msg와 CV 값 xor 연산
 - $MsgADD(X, Y) = (X[0] \oplus Y[0], \dots, X[15] \oplus Y[15])$

- Mix

- $(T[l], T[l + 8]) \leftarrow Mix_{j,l}(T[l], T[l + 8])$ for $0 \leq l < 8$
 - 3개의 덧셈과 xor, rotation 사용

- WordPerm

- $WordPerm(X) = X[\sigma(0)], \dots, X[\sigma(15)]$



Mix 함수

LSH on Quantum

- LSH 양자 회로
 - Initialization
 - not 연산만을 사용 (IV constant값을 CV 큐비트에 저장, 패딩)
 - Compression
 - **add**, rotation, not (SC constant xor) 연산 사용
 - rotation 연산은 logical 로 구현 → 자원 추정 x
 - Finalization
 - xor 연산 사용

덧셈기와 병렬처리가 최적화하는데 중요함

LSH on Quantum

- **Draper adder**

- Carry-lookahead adder(CLA)

- 각 자리수의 캐리를 미리 계산

→ 이전 자리의 캐리 값이 구해질 때까지(RCA) 기다리지 않아도 됨.

→ 많은 큐비트 수, 낮은 depth

Table 1: Comparison of quantum resources required for adder (32-bit).

Adder	Operation	#CNOT	#Toffoli	Toffoli depth	#Qubit (reuse)	Depth
Cuccaro [2]	in-place	153	61	61	65	66
Draper [3]	in-place	123	254	22	117 (53)	28
	out-of-place	94	127	11	118 (22)	14

※: Estimation of undecomposed resources

LSH on Quantum

- **Parallel in Addition**

- MsgExp

- on-the-fly 형태로 연산, 16개의 덧셈이 사용

$$\mathbf{M}_0^{(i)} \leftarrow (M^{(i)}[0], \dots, M^{(i)}[15]), \mathbf{M}_1^{(i)} \leftarrow (M^{(i)}[16], \dots, M^{(i)}[31])$$

$$\mathbf{M}_j^{(i)} \leftarrow (M_j^{(i)}[0], \dots, M_j^{(i)}[15])_{j=2}^{N_s}$$

$$M_j^{(i)}[l] \leftarrow M_{j-1}^{(i)}[l] \boxplus M_{j-2}^{(i)}[\tau(l)] \text{ for } 0 \leq l \leq 16$$

- 순차적인 덧셈 연산

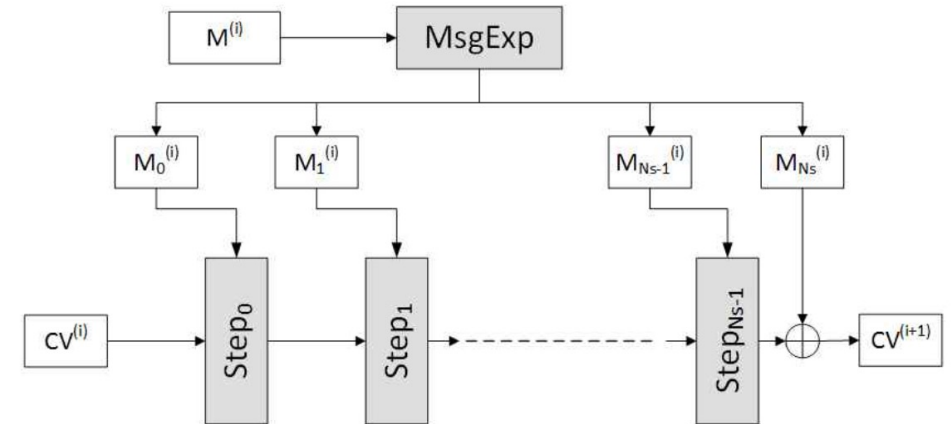
→ 초기에 53개의 안실라 큐비트 할당만 필요,

→ 높은 depth

- 병렬 덧셈 연산

→ 초기에 **848** (16×53)개의 안실라 큐비트 할당

→ 낮은 depth



LSH on Quantum

• Parallel in Addition

• Mix

- 24 (8×3) 개의 덧셈 사용
- $(T[l], T[l + 8]) \leftarrow \text{Mix}_{j,l}(T[l], T[l + 8])$
- 8개씩 병렬 덧셈 가능

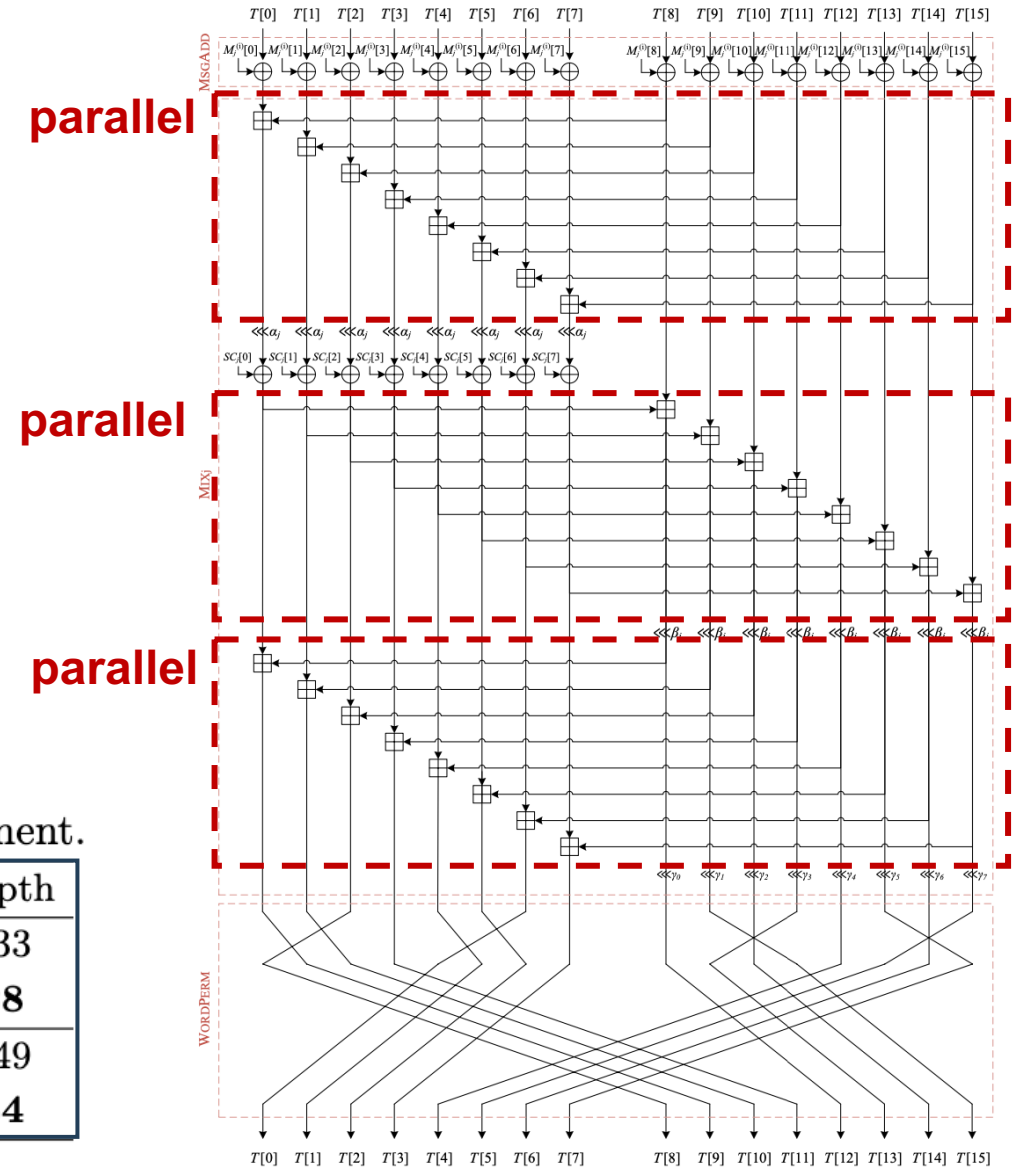
→ 424 (8×53) 개의 안실라 큐비트 필요

→ MsgExp에서 사용한 안실라 큐비트 **재사용 가능**

Table 2: Comparison of quantum resources required for each component.

Function	Operation	#CNOT	#Toffoli	Toffoli depth	#Qubit	Depth
MsgExp	Sequential	1,968	4,064	352	1,077	433
	Parallel	1,968	4,064	22	1,872	28
Mix	Sequential	2,952	6,096	528	565	649
	Parallel	2,952	6,096	66	936	84

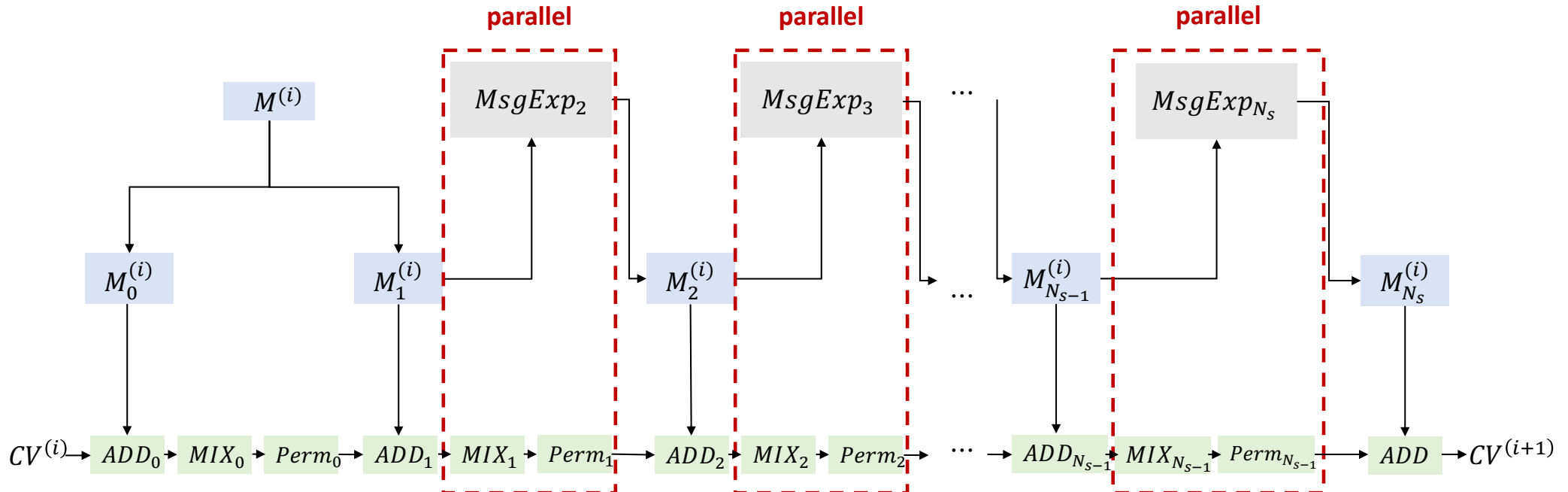
※: Estimation of undecomposed resources



LSH on Quantum

- **Parallel in Compression**

- MsgExp와 Mix 함수는 각각 독립적으로 수행 가능
 - 정확하게는 i 번째 Mix와 $i + 1$ 번째 MsgExp이 독립적 → 병렬 연산 가능
 - But, Mix 함수에서 MsgExp에서 사용한 안실라 재사용할 경우 불가능
 - Mix 와 MsgExp에서 사용할 안실라 큐비트를 각각 할당



LSH on Quantum

• Parallel in Compression

Algorithm 1: Quantum circuit implementation.

Input: $M_{even}, M_{odd}, CV, \alpha, \beta, SC, ancilla_0, ancilla_1$

Output: $M_{even}, M_{odd}, CV, ancilla_0, ancilla_1$

```
1:  $CV \leftarrow \text{MsgAdd}(M_{even}, CV)$ 
2:  $CV \leftarrow \text{Mix}(CV, \alpha_{even}, \beta_{even}, SC, ancilla_0)$ 
3:  $CV \leftarrow \text{WordPerm}(CV)$ 

4:  $CV \leftarrow \text{MsgAdd}(M_{odd}, CV)$ 
5:  $CV \leftarrow \text{Mix}(CV, \alpha_{odd}, \beta_{odd}, SC, ancilla_0)$ 
6:  $CV \leftarrow \text{WordPerm}(CV)$ 

7: for  $1 \leq i \leq 13$  do
8:    $M_{even} \leftarrow \text{MsgExp}(M_{even}, M_{odd}, ancilla_1)$ 
9:    $CV \leftarrow \text{MsgAdd}(M_{even}, CV)$ 
10:   $CV \leftarrow \text{Mix}(CV, \alpha_{even}, \beta_{even}, SC, ancilla_0)$ 
11:   $CV \leftarrow \text{WordPerm}(CV)$ 

12:   $M_{odd} \leftarrow \text{MsgExp}(M_{even}, M_{odd}, ancilla_1)$ 
13:   $CV \leftarrow \text{MsgAdd}(M_{odd}, CV)$ 
14:   $CV \leftarrow \text{Mix}(CV, \alpha_{odd}, \beta_{odd}, SC, ancilla_0)$ 
15:   $CV \leftarrow \text{WordPerm}(CV)$ 
16: end for

17:  $M_{even} \leftarrow \text{MsgExp}(M_{even}, M_{odd}, ancilla_1)$ 
18:  $CV \leftarrow \text{MsgAdd}(M_{even}, CV)$ 

19: return  $CV$ 
```

- $ancilla_0$
 - Mix에 사용되는 **424 (8×53)**개의 안실라 큐비트
- $ancilla_1$
 - MsgExp에 사용되는 **848 (16×53)**개의 안실라 큐비트
- Mix 함수는 병렬 덧셈이 3번 반복됨
→ **MsgExp의 depth는 생략되고 Mix의 depth가 추정됨**

Table 3: Comparison of quantum resources required for the Compression function.

Function	Operation	#CNOT	#Toffoli	Toffoli depth	#Qubit	Depth
Compression	Sequential	139,776	260,096	2,266	2,384	2,873
	Parallel	139,776	260,096	1,716	2,808	2,198

※: Estimation of undecomposed resources

Evaluation

• Evaluation

- 이전 연구, Ours-CDKM(이전 연구 + 병렬 최적화), Ours (병렬 + Draper) 비교
- Ours가 게이트 수와 큐비트는 가장 많이 사용
- **TD, FD 가장 좋은 성능. + trade-off 메트릭 모두에서 더 좋은 성능을 보임**
- Grover 공격 비용도 G-FD는 Ours-CDKM이 조금 더 좋은 성능이지만 다른 메트릭 Depth 관련 메트릭은 Ours가 가장 좋은 성능을 보임

Table 4: Quantum resources required for implementations of LSH.

Cipher	Source	#CNOT	#1qCliff	#T	Toffoli depth (TD)	#Qubit (M)	Full depth (FD)	$TD-M$	$FD-M$	TD^2-M	FD^2-M
LSH-256-256	[12]	545,536	187,813	437,248	6,283	1,552	50,758	$1.16 \cdot 2^{23}$	$1.17 \cdot 2^{26}$	$1.78 \cdot 2^{35}$	$1.82 \cdot 2^{41}$
	Ours-CDKM	545,536	187,813	437,248	4,758	1,560	38,483	$1.77 \cdot 2^{22}$	$1.79 \cdot 2^{25}$	$1.03 \cdot 2^{35}$	$1.05 \cdot 2^{41}$
	Ours	1,700,608	306,947	1,820,672	1,716	2,808	13,647	$1.15 \cdot 2^{22}$	$1.14 \cdot 2^{25}$	$1.93 \cdot 2^{32}$	$1.90 \cdot 2^{38}$
LSH-512-512	[12]	1,203,760	418,369	966,000	13,875	3,088	111,532	$1.28 \cdot 2^{25}$	$1.28 \cdot 2^{28}$	$1.08 \cdot 2^{39}$	$1.09 \cdot 2^{45}$
	Ours-CDKM	1,203,760	418,369	966,000	10,500	3,096	84,451	$1.94 \cdot 2^{24}$	$1.95 \cdot 2^{27}$	$1.24 \cdot 2^{38}$	$1.26 \cdot 2^{44}$
	Ours	4,030,000	736,569	2,614,473	2,028	5,832	17,385	$1.41 \cdot 2^{23}$	$1.51 \cdot 2^{26}$	$1.40 \cdot 2^{34}$	$1.60 \cdot 2^{40}$

Table 5: Costs of the Grover's collision search for LSH.

Cipher	Source	#Gate (G)	Full depth (FD)	T -depth (Td)	#Qubit (M)	$G-FD$	$FD-M$	$Td-M$	FD^2-M	Td^2-M
LSH-256-256	[12]	$1.35 \cdot 2^{107}$	$1.53 \cdot 2^{101}$	$1.51 \cdot 2^{100}$	$1.51 \cdot 2^{10}$	$1.03 \cdot 2^{209}$	$1.16 \cdot 2^{112}$	$1.15 \cdot 2^{111}$	$1.78 \cdot 2^{213}$	$1.74 \cdot 2^{211}$
	Ours-CDKM	$1.10 \cdot 2^{106}$	$1.16 \cdot 2^{101}$	$1.14 \cdot 2^{100}$	$1.52 \cdot 2^{10}$	$1.28 \cdot 2^{207}$	$1.77 \cdot 2^{111}$	$1.75 \cdot 2^{110}$	$1.02 \cdot 2^{213}$	$1.00 \cdot 2^{211}$
	Ours	$1.81 \cdot 2^{107}$	$1.64 \cdot 2^{99}$	$1.65 \cdot 2^{98}$	$1.37 \cdot 2^{11}$	$1.48 \cdot 2^{207}$	$1.13 \cdot 2^{111}$	$1.13 \cdot 2^{110}$	$1.86 \cdot 2^{210}$	$1.88 \cdot 2^{208}$
LSH-512-512	[12]	$1.22 \cdot 2^{107}$	$1.68 \cdot 2^{102}$	$1.67 \cdot 2^{101}$	$1.51 \cdot 2^{11}$	$1.02 \cdot 2^{210}$	$1.27 \cdot 2^{114}$	$1.26 \cdot 2^{113}$	$1.06 \cdot 2^{217}$	$1.05 \cdot 2^{215}$
	Ours-CDKM	$1.22 \cdot 2^{107}$	$1.27 \cdot 2^{102}$	$1.26 \cdot 2^{101}$	$1.02 \cdot 2^{11}$	$1.55 \cdot 2^{209}$	$1.92 \cdot 2^{113}$	$1.91 \cdot 2^{112}$	$1.22 \cdot 2^{216}$	$1.21 \cdot 2^{214}$
	Ours	$1.74 \cdot 2^{108}$	$1.04 \cdot 2^{100}$	$1.95 \cdot 2^{98}$	$1.42 \cdot 2^{12}$	$1.82 \cdot 2^{208}$	$1.49 \cdot 2^{112}$	$1.39 \cdot 2^{111}$	$1.56 \cdot 2^{212}$	$1.36 \cdot 2^{210}$

Q & A